# ПРИМЕНЕНИЕ АНАЛОГОВЫХ ВЫЧИСЛИТЕЛЬНЫХ МАШИН ДЛЯ АНАЛИЗА ЭЛЕКТРОМАГНИТНЫХ ПРОЦЕССОВ В ТРЕХФАЗНЫХ ВЫПРЯМИТЕЛЯХ

### В. А. КОЧЕГУРОВ, А. А. ТЕРЕЩЕНКО

(Представлена научным семинаром научно-исследовательского института ядерной физики)

Широкое внедрение в различные области промышленности выпрямительных установок ставит задачу разработки достаточно простого и точного метода их расчета. Задачами расчета должны явиться выбор параметров основного оборудования и построение рабочих характеристик выпрямителя для различных режимов его работы.

В общем случае аналитический расчет токов и напряжений в цепях схем выпрямления затруднителен и позволяет получить конечный резуль-

тат для сравнительно простых вариантов схем выпрямления. Кроме того, проектирование и наладка сложных систем управления и автоматического регулирования, содержащих преобразователи, не могут проводиться без знания процессов, которые протекают в них. Особый интерес представляет вопрос выявления действительных динамических параметров ионного преобразователя совместно с сеточным управлением и нагрузкой, работающего в замкнутой системе автоматического регулирования.

Применение вычислительных мащин непрерывного действия значительно облегчает проведение подобных исследований и делает возможным решение таких задач,которые были практически недоступны при обычно исследуемых методах расчета. Электронная вычислительная машина позволяет быстро получить хорошо обозримые осциллограммы токов и напряжений в цепях схемы выпрямления, по которым можно наглядно судить о влиянии параметров схемы на характер протекания в ней электромагнитных процессов. Повышение точности расчета с помощью электронной машины суще-

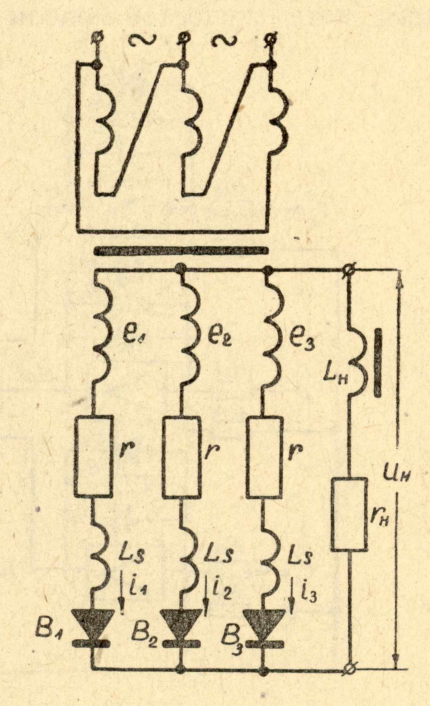


Рис. 1.

ственно облегчает выбор оптимальных параметров и исследования ре-

жимов работы выпрямителей. Электронное моделирование однофазных и двухфазных схем выпрямления приведено в литературе [1, 2].

Ниже приводится методика расчета на аналоговых вычислительных машинах однотактных и двухтактных трехфазных неуправляемых выпрямителей.

## а) Модель однотактного трехфазного выпрямителя

Принципиальная схема однотактного трехфазного выпрямителя приведена на рис. 1. Элементы r и  $L_s$  учитывают активные сопротивления и индуктивности рассеяния первичной и вторичной обмоток трансформатора. В соответствии с приведенными на рис. 1 обозначениями работа схемы описывается следующими уравнениями, составленными на основании законов Кирхгофа:

$$e_{1} = L_{S} \frac{di_{1}}{dt} + ri_{1} + r_{B_{1}} \cdot i_{1} + U_{H};$$

$$e_{2} = L_{S} \frac{di_{2}}{dt} + ri_{2} + r_{B_{2}} \cdot i_{2} + U_{H};$$

$$e_{3} = L_{S} \frac{di_{3}}{dt} + ri_{3} + r_{B_{3}}i_{3} + U_{H};$$

$$i_{1} + i_{2} + i_{3} = i_{H};$$

$$U_{H} = i_{H} \cdot Z_{H};$$

$$Z_{H} = r_{H} + pL_{H};$$
(1)

тде  $r_{B_1}$ ,  $r_{B_2}$ ,  $r_{B_3}$  — сопротивления вентилей.

Разрешая систему уравнений (1) относительно токов  $i_1$ ,  $i_2$ ,  $i_3$ , получим исходные уравнения для составления и расчета схемы модели. Блоксхема математической модели уравнений цепей однотактного трехфазно-

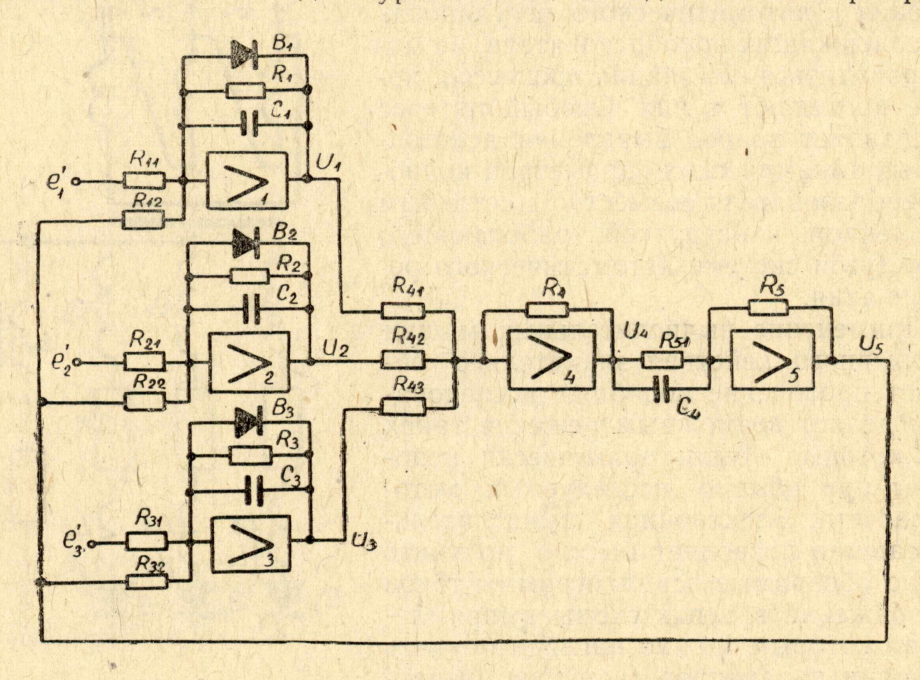


Рис. 2.

го выпрямителя показана на рис. 2. Вольт-амперные характеристики вентилей выпрямителя  $i_{\scriptscriptstyle B}=f(U_{\scriptscriptstyle B})$  воспроизводятся в модели с помощью

ламповых диодов 6Х2П, включенных в цепь обратной связи соответствующих решающих усилителей.

Уравнения отдельных блоков модели с учетом уравнений преобразо-

вания переменных запишутся:

$$\frac{i_{1}}{M_{i_{B}}} = -\frac{1}{p} \left( \kappa_{11} \frac{e_{1}}{M_{e}} - \kappa_{1} \frac{i_{1}}{M_{i_{B}}} - \kappa_{B_{1}} \frac{i_{1}}{M_{i_{B}}} - \kappa_{12} \frac{U_{H}}{M_{u}} \right);$$

$$\frac{i_{2}}{M_{i_{B}}} = -\frac{1}{p} \left( \kappa_{21} \frac{e_{2}}{M_{e}} - \kappa_{2} \frac{i_{2}}{M_{i_{B}}} - \kappa_{B_{2}} \frac{i_{2}}{M_{i_{B}}} - \kappa_{22} \frac{U_{H}}{M_{u}} \right);$$

$$\frac{i_{3}}{M_{i_{B}}} = -\frac{1}{p} \left( \kappa_{31} \frac{e_{3}}{M_{e}} - \kappa_{3} \frac{i_{3}}{M_{i_{B}}} - \kappa_{B_{3}} \frac{i_{3}}{M_{i_{B}}} - \kappa_{32} \frac{U_{H}}{M_{u}} \right);$$

$$\frac{i_{H}}{M_{i}} = -\left( \kappa_{41} \frac{i_{1}}{M_{i_{B}}} + \kappa_{42} \frac{i_{2}}{M_{i_{B}}} + \kappa_{43} \frac{i_{3}}{M_{i_{B}}} \right);$$

$$\frac{U_{H}}{M_{u}} = -\left( \kappa_{51} \frac{i_{H}}{M_{i}} + \kappa_{5} p \frac{i_{H}}{M_{i}} \right).$$
(2)

Уравнения преобразования переменных имеют вид:

$$i_{1} = M_{i_{B}}U_{1}; e_{1} = M_{e} \cdot e'_{1}; i_{H} = M_{i}U_{4};$$

$$i_{2} = M_{i_{B}}U_{2}; e_{2} = M_{e} \cdot e'_{2}; U_{H} = M_{u} \cdot U_{5};$$

$$i_{3} = M_{i_{B}}U_{3}; e_{3} = M_{e} \cdot e'_{3}; t = M_{t} \cdot t_{M}.$$

$$(3)$$

Отсюда соответствие элементов модели параметрам схемы определяется следующими соотношениями:

$$L_{H} = \frac{\kappa_{12} \cdot \kappa_{5} \cdot M_{e} \cdot M_{i}}{\kappa_{11} \cdot M_{i}}; \quad L_{s} = \frac{M_{e} \cdot M_{i}}{\kappa_{41} \cdot \kappa_{11} \cdot M_{i}};$$

$$r_{H} = \frac{\kappa_{12} \cdot \kappa_{51} \cdot M_{e}}{\kappa_{11} \cdot M_{i}}; \quad r = \frac{\kappa_{1} \cdot M_{e}}{\kappa_{11} \cdot M_{i}_{B}}; \quad r_{B} = \frac{\kappa_{B} \cdot M_{e}}{\kappa_{11} \cdot M_{i}_{B}};$$

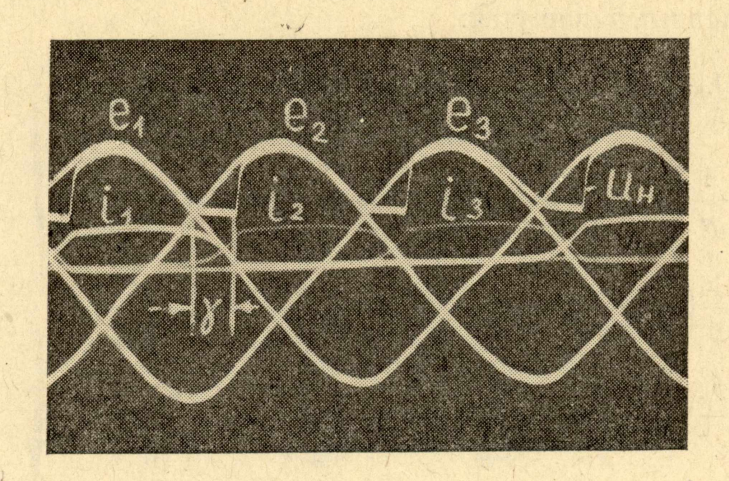
$$(4)$$

где  $M_i$ ,  $M_{i_p}$  — масштабы токов;

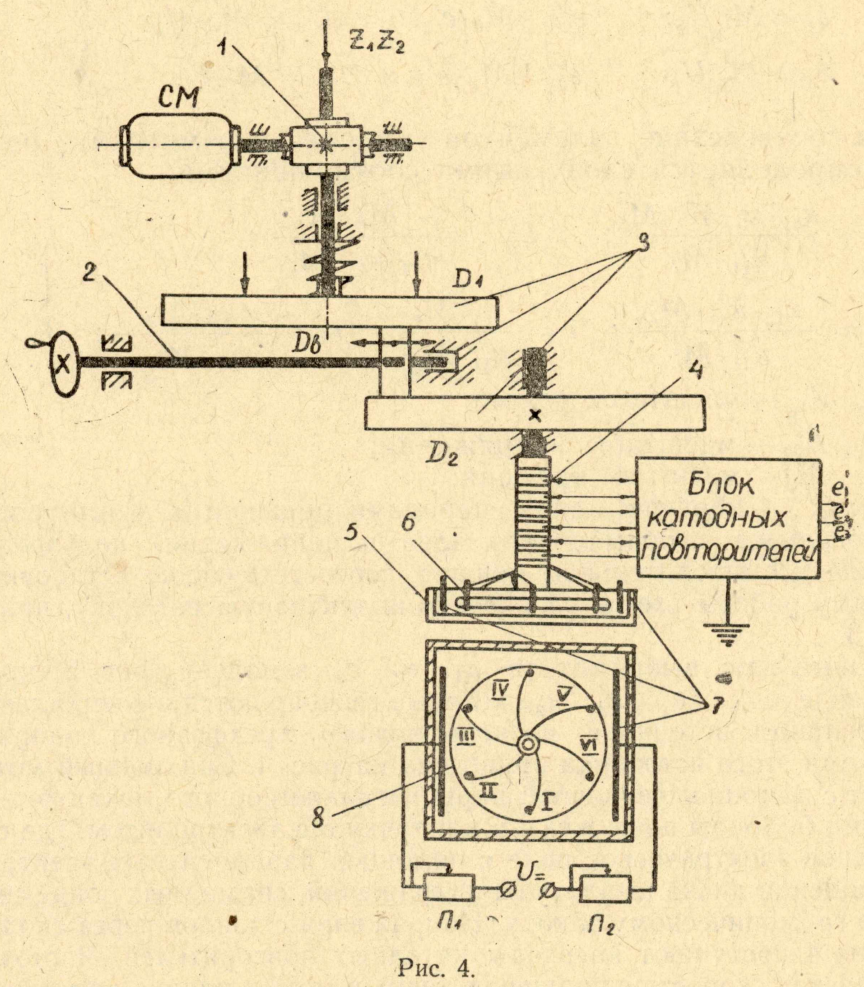
 $M_e$ ,  $M_u$  — масштабы напряжений;  $M_t$  — масштаб времени;

 $\kappa_{11}$ ,  $\kappa_{12}$ ... — коэффициенты передачи решающих усилителей. Осциллограммы выпрямленного тока и напряжения, полученные на электронной вычислительной машине, соответствующие установившемуся режиму работы схемы на активно-индуктивную нагрузку, приведены на рис. 3.

Фазные э.д.с. выпрямителя  $e_1$ ,  $e_2$ ,  $e_3$  в модели (рис. 2) представлены в виде э.д.с.  $e_1'$ ,  $e_2'$ ,  $e_3'$ , которые генерируются в специально сконструированном источнике низкочастотного трехфазного напряжения. Блок-схема этого источника приведена на рис. 4. Синхронный мотор СМ вращает с помощью червячной пары 1 и фрикционного механизма 3 диск с зондами 6. Зонды погружены в ванночку 5 с электролитом, где создано однородное электрическое поле с помощью параллельных электродов 7. При вращении диска амплитуды напряжений, снимаемых зондами, меняются по гармоническому закону. Напряжения с зондов через скользящие контакты 4 поступают на входы катодных повторителей. Частота э.д.с. определяется скоростью вращения диска и может плавно регулироваться



Fис. 3.



с помощью вариатора 2 от 0,5 до 10  $\epsilon \mu$ . Величина амплитуды регулируется с помощью потенциометров  $\Pi_1$  и  $\Pi_2$ .

## б) Модель двухтактного трехфазного выпрямителя

На рис. 5 приведена принципиальная схема двухтактного трехфазного выпрямителя и даны обозначения элементов и параметров ее, а так-

же токов и напряжений. В данной схеме последовательно соединены две трехфазные однотактные выпрямительные секции, одна из которых собрана на вентилях 1, 2, 3 и развивает выпрямленное напряжение  $U_{\rm в1}$  . Вторая — на вентилях 4, 5, 6 с выпрямленным напряжением  $U_{\scriptscriptstyle \mathrm{B2}}$  . Обе вентильные группы используют одну и ту же трехфазную вторичную обмотку трансформатора. Вентили 1, 2, 3, подключенные к фазам трансформатыра анодами и имеющие общую катодную точку, образуют катодную группу вентилей. Вентили 4, 5, 6, подключенные к тем же фазам трансформатора катодами, имеют общую анодную точку и образуют анодную группу вентилей. Следовательно, напряжения  $U_{\rm B1}$ , и  $U_{\rm B2}$ , которые являются соответственно верхней и нижней огибающими фазных э. д. с., складываются, создавая выпрямленное напряжение схемы  $U_{\rm H}$  . Для схемы преобразователя, изображенной на рис. 5, имеем следующую систему уравнений для напряжений и токов:

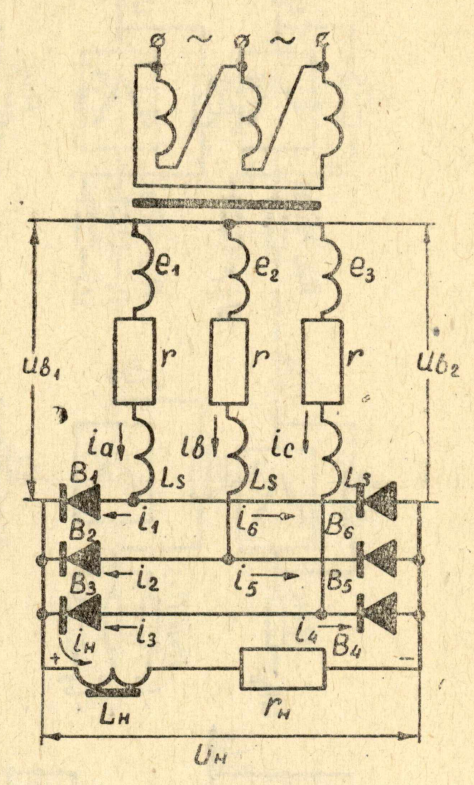


Рис. 5.

$$e_{1} = Lsp(i_{1} + i_{6}) + r(i_{1} + i_{6}) + r_{B_{1}} \cdot i_{1} + U_{B_{1}};$$

$$e_{2} = Lsp(i_{2} + i_{5}) + r(i_{2} + i_{5}) + r_{B_{2}} \cdot i_{2} + U_{B_{1}};$$

$$e_{3} = Lsp(i_{3} + i_{4}) + r(i_{3} + i_{4}) + r_{B_{3}} \cdot i_{3} + U_{B_{1}};$$

$$e_{1} = Lsp(i_{1} + i_{6}) + r(i_{1} + i_{6}) + r_{B_{0}} \cdot i_{6} + U_{B_{2}};$$

$$e_{2} = Lsp(i_{2} + i_{5}) + r(i_{2} + i_{5}) + r_{B_{5}} \cdot i_{5} + U_{B_{2}};$$

$$e_{3} = Lsp(i_{3} + i_{4}) + r(i_{3} + i_{4}) + r_{B_{4}} \cdot i_{4} + U_{B_{2}};$$

$$i_{1} + i_{2} + i_{3} = i_{H};$$

$$i_{4} + i_{5} + i_{6} = i_{H};$$

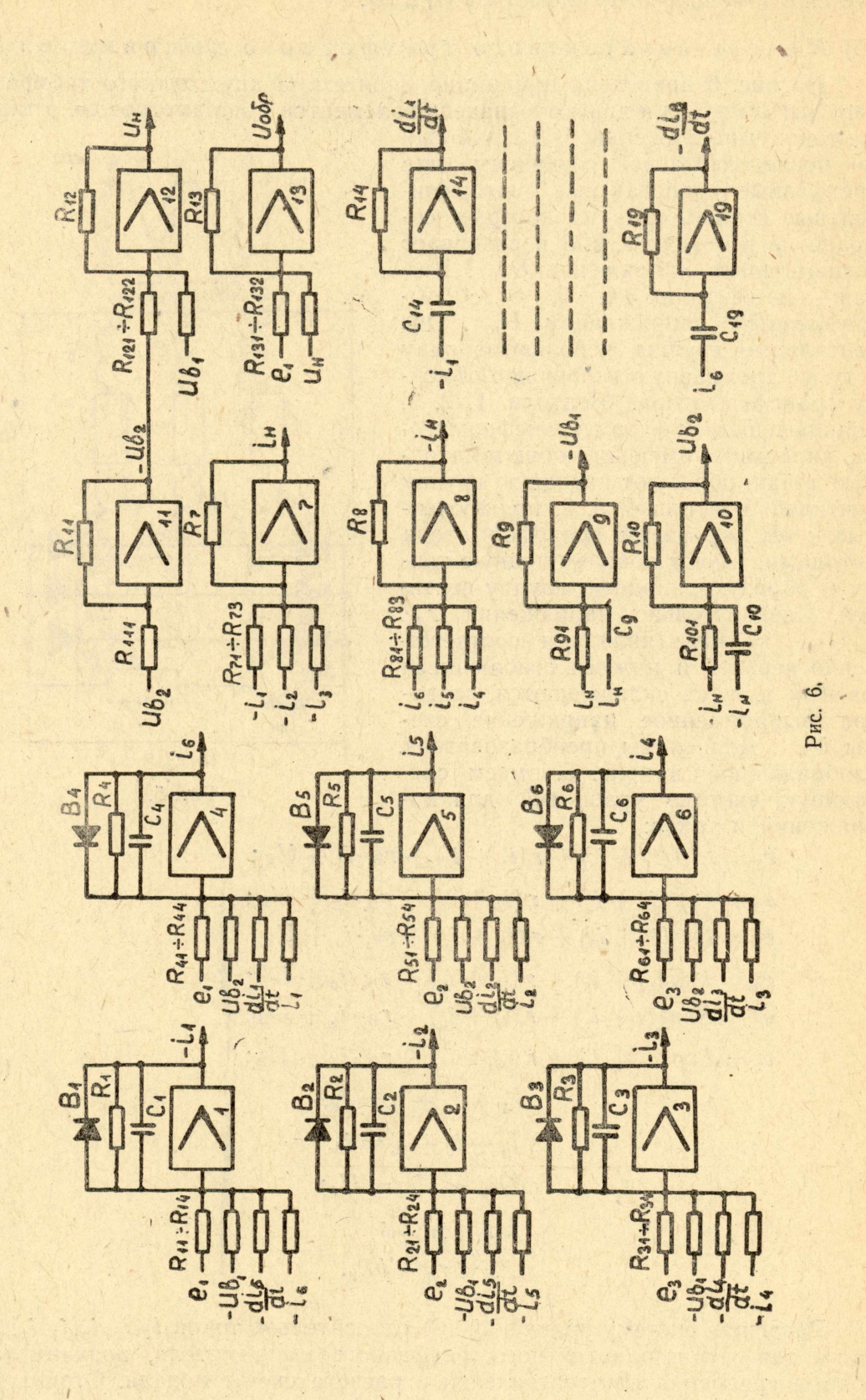
$$U_{B_{1}} + U_{B_{2}} = U_{H};$$

$$U_{H} = i_{H} \cdot Z_{H};$$

$$Z_{H} = r_{H} + pL_{H}.$$

$$(5)$$

Разрешая систему уравнений (5) относительно токов  $i_1$ ,  $i_2$ ,  $i_3$ ,  $i_4$ ,  $i_5$ ,  $i_6$ , как и для случая однотактного трехфазного выпрямителя, получим исходные уравнения для составления и расчета схемы модели. Структурная схема модели для решения уравнений напряжений и токов в цепях схемы двухтактного трехфазного выпрямителя показана на рис. 6. Соот-



ветствие элементов модели и параметров реальной схемы определяется так же, как и для случая модели однотактного трехфазного вы-

Осциллограммы машинного расчета токов и напряжений в цепях

схемы выпрямительного моста приведены на рис. 7.

Сравнение результатов, полученных из расчета на аналоговой вычислительной машине и в реальных схемах, показало хорошее совпадение характеристик для всех исследованных схем и режимов работы

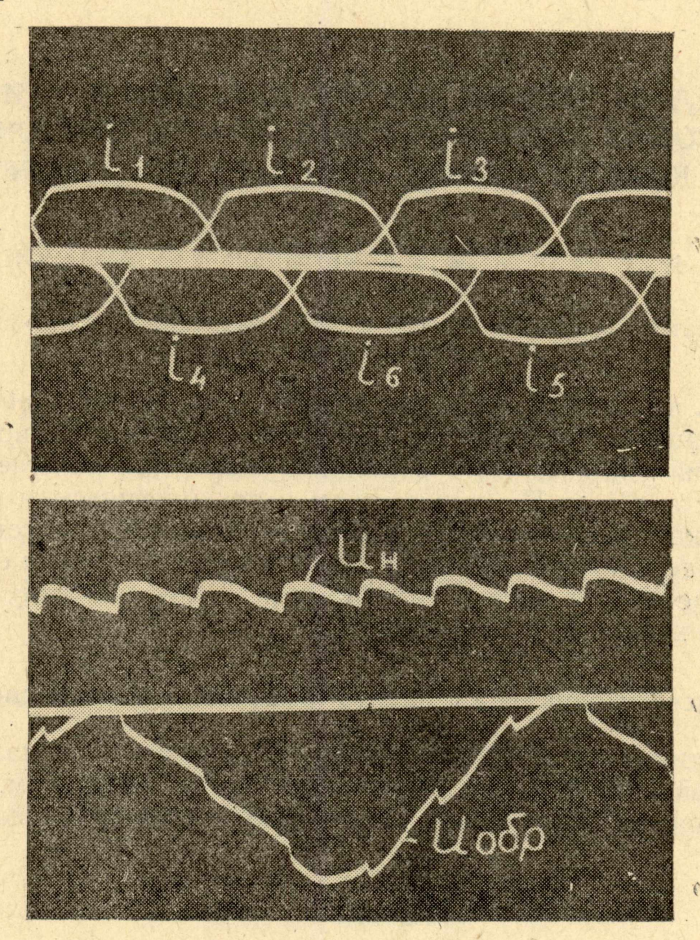


Рис. 7.

выпрямителей. Электронные модели более сложных выпрямительных схем, а также управляемых выпрямителей могут быть построены на основе схем, рассмотренных в настоящей статье.

#### ЛИТЕРАТУРА

1. В. Г. Васильев, В. А. Зверев. Электронная модель схемы выпрямительного моста. Электромеханика, № 1, 1961.
2 В. Я. Якубовский. Применение электронной вычислительной машины непрерывного действия для расчета установившегося режима двухфазной схемы выпрямления. Электромеханика, № 5, 1962.